

Вплив параметрів мікроструктури сталей на їх схильність до навуглецовування

І.Ф. Кірчу, кандидат технічних наук

Т.В. Степанова

Фізико-технологічний інститут металів та сплавів НАН України, Київ

Обґрунтовано можливість застосування без- і низьконікелевих азотовмісних хромомарганцевих сталей ферито-аустенітного та аустенітного класів для виготовлення оснащення цементаційних печей замість хромонікелевих сталей аустенітного класу. Встановлено залежність стійкості до навуглецовування хромомарганцевих сталей від параметрів мікроструктури.

В практиці хіміко-термічної обробки сталі, наприклад цементації, для виготовлення літого жаростійкого оснащення (ящиків і реторт) використовують хромонікелеві сталі аустенітного класу марок 20Х20Н14С2Л і 20Х24Н19С2Л відповідно [1, 2]. Проте дефіцит нікелю в Україні та його висока ринкова вартість привели до того, що підприємства при виготовленні ящиків для цементації почали застосовувати вуглецеві сталі, а при виготовленні реторт – хромонікелеві, що містять до 13 % нікелю. Це зумовлює зниження довговічності оснащення і збільшення витрат.

Аналіз руйнувань коробів і реторт з хромонікелевих сталей аустенітного класу показав, що основною причиною зняття їх з експлуатації є короблення і тріщини термовтомного характеру. Термічний цикл їх утворення визначається стійкістю аустеніту до $\gamma \rightarrow \alpha$ фазових перетворень і його схильністю до навуглецовування в інтервалі робочих температур, що зумовлюють пластичні властивості сталі.

Задачу зниження витрат нікелю при виробництві жаростійкого пічного оснащення, яке працює в окислювальних середовищах за умов статичного і термоциклічного режимів нагріву до температур 1250 °C, вирішували застосуванням сталей 30Х18Н3Г10С2АФТЛ, 30Х22Н5Г10С2АЛ і 30Х24Г5АЛ [3 – 6]. При цьому стали аустенітного класу 30Х18Н3Г10С2АФТЛ і 30Х22Н5Г10С2АЛ практично не поступаються за жаростійкістю, а за термовтомною довговічністю в 2,0 – 2,5 рази перевершують сталь 40Х24Н12СЛ. Сталь марки 30Х24Г5АЛ при температурах експлуатації, вищих 1150 °C, перевершує за властивостями сталь 20Х24Н19С2Л за жаростійкістю і в 1,5 рази за довговічністю за умов циклічних нагрівів.

Отже, якщо хромомарганцеві сталі аустенітного та ферито-аустенітного класу будуть мати відповідну до хромонікелевих сталей аустенітного класу стійкість до навуглецовування, вони стануть їх повноцінними замінниками.

Основними чинниками, що лімітують швидкість дифузійного навуглецовування металової матриці, окрім температури і тривалості процесу, є хімічний і фазовий склад сталі при робочій температурі, які визначаються коефіцієнтом дифузії і вмістом вуглецю в матриці. Достовірні дані вмісту твердорозчинного вуглецю в аустенітній і ферито-аустенітній матрицях для Cr-Mn-(Ni)-N сталей при температурах 920 – 950 °C практично відсутні. При постановці роботи виходили з того, що межа розчинності

Термічна і хіміко-термічна обробка

вуглецю при температурах цементації в однофазних феритних сталях з вмістом хрому 12 – 30 % та двофазних ферито-аустенітних сталях з вмістом хрому 18 % і нікелю 4 – 8 % складає 0,12 % [7] і 0,16 % [8], відповідно. Це в 12 – 14 разів нижче межі розчинності вуглецю в аустеніті вуглецевої сталі і в 1,3 – 1,6 рази в хромонікелевій аустенітній сталі 20Х18Н12СЛ.

Відомо, що дифузійне навуглецовування сталей здійснюється не тільки через поверхню зерна, але й по границях зерен [9, 10]. Крім того схильність сталі до навуглецовування, окрім хімічного складу, типу кристалічної решітки металевої матриці і розміру зерна можуть впливати дисперсні вторинні фази (нітриди, карбонітриди).

Тому при виконанні роботи застосовували легування різними нітридоутворюючими елементами, а термічною обробкою змінювали розмір зерна аустеніту і розподіл вторинних фаз в матриці від переважно зерногранічного в литому стані до внутрішньозеренного в термообробленому, а також концентрацію вуглецю і азоту в твердому розчині. Хімічний склад досліджуваних сталей наведено в табл. 1.

Таблиця 1

Хімічний склад сталей

Марка сталі	Масова частка елементів, %									
	C	Si	Mn	Cr	Ni	N	Al	V	W	Ti
30Х24Г5АЛ	0,32	0,96	5,13	28,0	-	0,117	0,047	-	-	-
30Х22Н5Г10С2АЛ	0,32	1,90	11,40	24,6	5,68	0,348	0,054	-	-	-
30Х18Н3Г10С2АФТЛ	0,35	1,36	10,20	18,8	2,97	0,155	0,045	0,35	-	0,08
30Х24Н19СЛ	0,30	0,72	1,74	26,9	17,00	0,045	0,050	-	-	-

Зразки для досліджень виготовляли із зливків і литих заготовок, отриманих вакуумним всмоктуванням металу в кварцеві трубки. Досліджували вплив температури, часу витримки на зміну фазового складу сталі. Нагрів зразків здійснювали в інтервалі температур від 800 °C до 1300 °C. Час витримки зразків зі зливків складав для сталі 30Х24Г5АЛ 2 години і 188 годин, сталей 30Х22Н5Г10С2АЛ і 30Х18Н3Г10С2АФТЛ – 188 годин і 70 годин, відповідно, а зразків сталі 30Х24Г5АЛ вакуумного відсмоктування – 2 години. Вплив мікроструктури на стійкість сталей до навуглецовування досліджували на зразках в литому стані – сталей 30Х24Г5АЛ, 30Х22Н5Г10С2АЛ і 30Х18Н3Г10С2АФТЛ, і після гомогенізації при 1200 °C протягом 2 годин – 30Х22Н5Г10С2АЛ. Температуру гомогенізації вибирали виходячи з умов усунення стабілізуючого ефекту нітридної фази на розмір первинного зерна і зміни характеру її виділення переважно з розподілу по границях зерен на внутрішньозеренно.

Схильність сталей до навуглецовування визначали за зміною маси зразків і за глибиною навуглецьованої зони. Навуглецовували в деревновугільному карбюризаторі при температурі 930 °C протягом 72 год.

Фазовий склад сталей визначали рентгеноструктурним аналізом на рентгенівському дифрактометрі ДРОН-УМ1 в мідному випромінюванні. Розмір зерна, розподіл в металевій матриці карбідів і нітридних фаз, глибину навуглецьованого шару досліджували методом металографії. Результати досліджень оцінювали в порівнянні зі стандартною сталлю марки 30Х24Н19СЛ.

Рентгеноструктурне дослідження фазового складу зразків після теплового навантаження показало, що для Cr-Mn-(Ni)-N сталей аустенітного класу, незалежно від їх стану і хімічного складу, характерна наявність мінімумів об'ємної частки γ -фази в мікроструктурі при температурі 930 °C (рис. 1). Гомогенізація сприяє зниженню

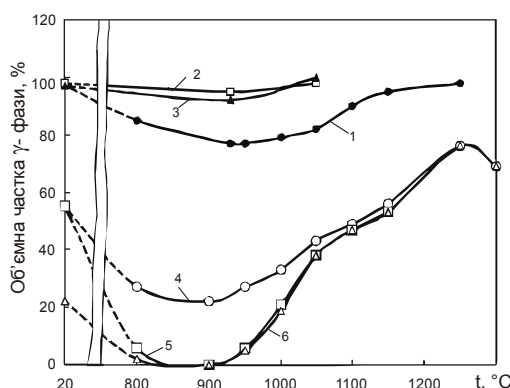


Рис. 1. Залежність об'ємної частки γ -фази від температури і часу витримки при термічній обробці сталей. Зразки з виливка в литому стані – 1, 3 – 5; гомогенізованому – 2; вакуумного відсмоктування – 6. Сталь 30Х22Н5Г10С2АЛ: 1 – витримка 188 годин, 2 – витримка 70 годин. Сталь 30Х18Н3Г10С2АФТЛ: 3 – витримка 70 годин. Сталь 30Х24Г5АЛ: 4 – витримка 2 години, 5 – витримка 188 годин, 6 – витримка 4 години.

центрю (табл. 2), вторинні фази – карбіди і нітриди, виділяються в зразках в литому стані переважно по границях зерен (рис. 2 а, в), а в гомогенізованому – внутрішньозеренно (рис. 2 д). Розмір зерна і ширина поверхневої (дрібнозернистої) зони наведено в табл. 2.

Таблиця 2

Параметри мікроструктури сталей до і після навуглецовування

Марка сталі	Стан металу	До навуглецовування				Після навуглецовування			
		Розмір зерна поверхневої зони / центральної зони, мкм	Глибина поверхневої зони, мкм		Об'ємна частка фази, %	Розмір зерна поверхневої зони / центральної зони, мкм	Глибина зони навуглецовування, мкм	Об'ємна частка фази, %	
			γ	α				γ	
30Х24Г5АЛ	литий	45 / 60	350	22	78	45 / 60	45	-	100
30Х22Н5Г10С2АЛ	литий	45 - 60 / 75 - 120	300	97	3	23 - 30 / 75 - 120	60	77	23
	гомогенізований	450 / 750 - 1350	550	98	2	450 / 750 - 1350	450	95,2	4,8
30Х18Н3Г10С2АФТЛ	литий	30 - 45 / 75 - 105	600	97	3	9 - 18 / 45	65	92	8
30Х24Н19СЛ	литий	64 - 70 / 118 - 130	220	98	2	45 / 118 - 120	500	93	7

швидкості розпаду γ -твірдого розчину від 0,1 % до 0,048 % за годину. Це зумовлено підвищенням легованості аустеніту вуглецем і азотом внаслідок розчинення карбідів, що виділилися по границях зерен, і нітридних фаз (рис. 2).

Для сталі 30Х24Г5АЛ максимум зниження об'ємної частки γ -фази досягається при 900 °С. При цьому вуглець, внаслідок розпаду аустеніту та пересиченого α -твірдого розчину дифундує переважно на границі розділу нітридної фази та матриці (рис. 2 б). Для стандартної сталі 30Х24Н19СЛ зниження об'ємної частки γ -фази після 188 годин витримки зразків при 930 °С склало 5 %.

Металографічне дослідження зразків вакуумного відсмоктування Cr-Mn-(Ni)-N та Cr-Ni сталей показало, що в литому і гомогенізованому станах розмір зерна зростає від поверхні зразка до його

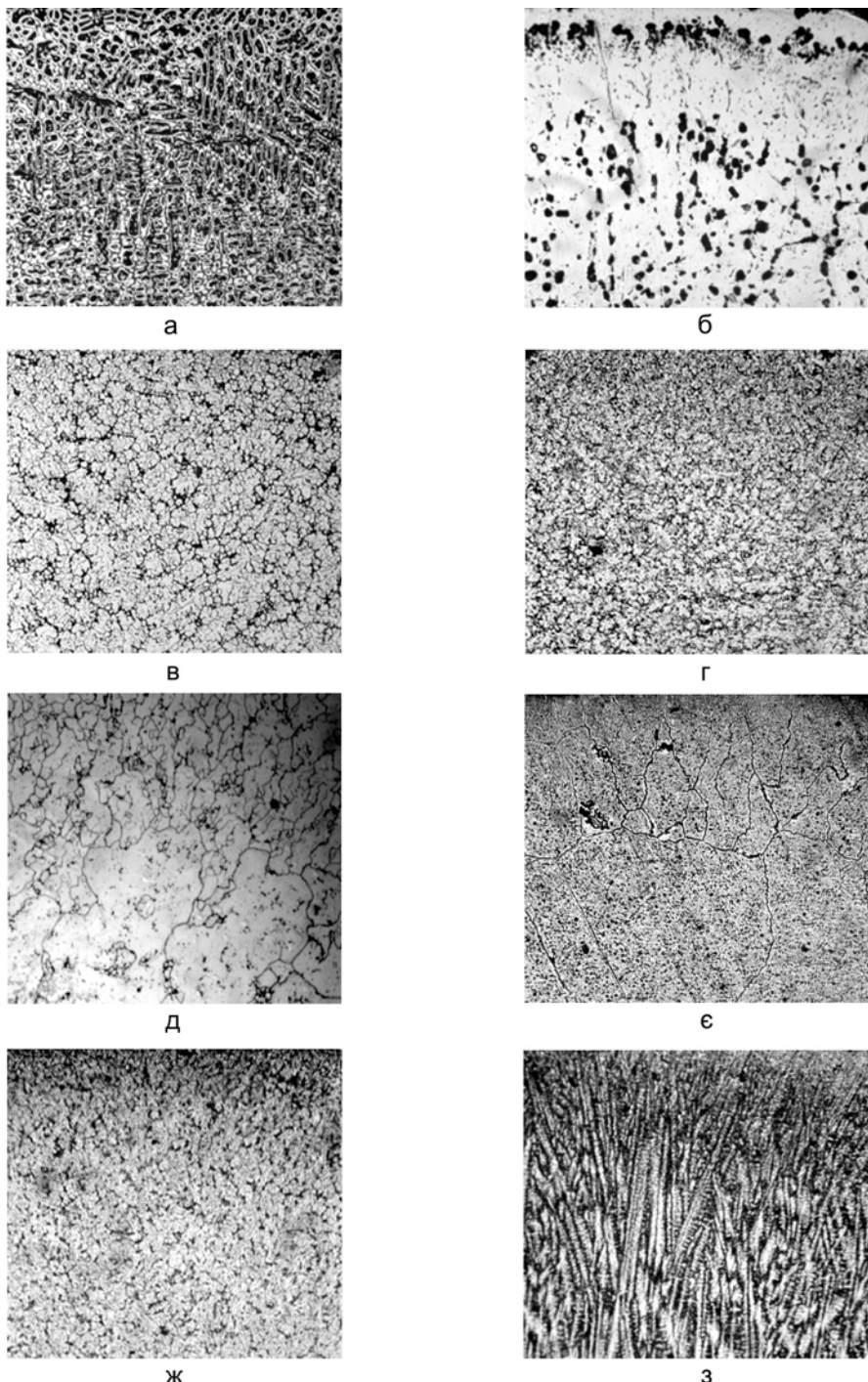


Рис. 2. Мікроструктура сталей до і після навуглекювання при 930 °C протягом 72 годин. Сталь 30Х24Г5АЛ: а - литий стан, б - після навуглекювання; сталь 30Х22Н5Г10С2АЛ: в - литий стан, г - після навуглекювання, д - гомогенізований стан, е - гомогенізація + навуглекювання; ж - сталь 30Х18Н3Г10С2АФТЛ після навуглекювання; з - сталь 30Х24Н19СЛ після навуглекювання. $\times 100$.

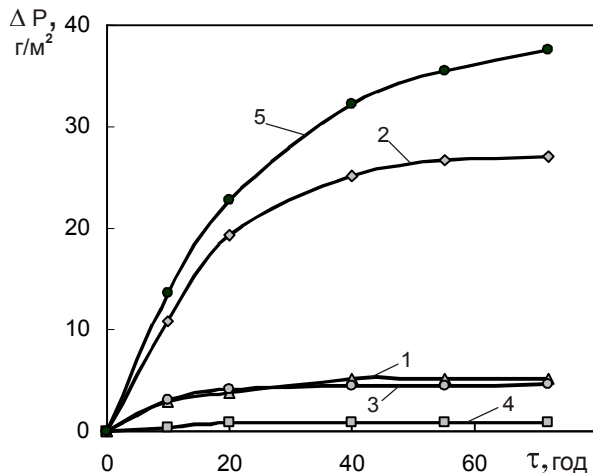


Рис. 3. Зміна маси зразка (ΔP) залежно від часу навуглецовування сталей. 1 – 30Х22Н5Г10С2АЛ, 2 – 30Х22Н5Г10С2АЛ, 3 – 30Х18Н3Г10С2АФТЛ, 4 – 30Х24Г5АЛ, 5 – 30Х24Н19СЛ. 1,3 – литий стан, 2 – гомогенізований стан.

фаз по границях зерен сприяли зміні характеру дифузійного насичення вуглецем від міжзеренного на дифузію через поверхню зерна. Це сприяло різкому зниженню стійкості сталі до навуглецовування, проте вона вища, ніж у сталі 30Х24Н19СЛ.

Раніше наголошувалося, що з економічної точки зору значний інтерес може мати можливість застосування для жаростійкого оснащення безнікелевої сталі 30Х24Г5АЛ. Так, незважаючи на те, що при розпаді аустеніту та пересиченого α -твірдого розчину карбідна фаза виділяється внутрішньозеренно, а високотемпературний коефіцієнт дифузії вуглецю в хромовому феріті вищий, ніж в хромонікелевому і Cr-Mn-(Ni)-N аустеніті, сталь 30Х24Г5АЛ суттєво перевершує за стійкістю до навуглецовування сталі аустенітного класу 30Х24Н19СЛ, 30Х22Н5Г10С2АЛ, 30Х18Н3Г10С2АФТЛ (рис. 3). При цьому, якщо в Cr-Mn-(Ni)-N сталь аустенітного класу навуглецовування здійснюється за рахунок поєднання процесів збільшення масової частки твердорозчинного вуглецю в аустеніті до межі його розчинності і карбідоутворення на границях розділу вторинних фаз, то в сталі 30Х24Г5АЛ в основному реалізується тільки процес карбідоутворення на поверхні зразка. Процес же твердорозчинного навуглецовування практично не реалізується через низьку розчинність вуглецю в хромистому феріті (0,12 % Cr) і відсутність у навуглецовованому шарі γ -фази. Це важливо, оскільки не сприяє підвищенню напруженій між феритною матрицею і аустенітом навуглецовованого шару при нагріві і подальшому охолодженні.

Таким чином встановлено, що досліджувані Cr-Mn-(Ni)-N сталі аустенітного і феріто-аустенітного класу можуть бути повноцінними замінниками хромонікелевих сталей аустенітного класу марок 20Х20Н14С2Л і 20Х24Н19С2Л.

Література

- Машиностроительные стали: Справ. / В.Н. Журавлев, О.И. Николаева. – М.: Машиностроение, 1981. – С. 305 – 311.

Аналіз залежностей збільшення маси зразків від часу навуглецовування показує (рис. 3), що Cr-Mn-(Ni)-N сталі аустенітного класу більш стійкі до навуглецовування, ніж сталь 30Х24Н19СЛ. Основними чинниками, лімітуючими збільшення маси зразка і глибину зони навуглецовування, є розмір зерна і характер виділення вторинних фаз (табл. 2). Найстійкішими до навуглецовування є сталі 30Х22Н5Г10С2АЛ і 30Х18Н3Г10С2АФТЛ в литому стані. Гомогенізація хоча і привела до стабілізації аустеніту сталі 30Х22Н5Г10С2АЛ, але збільшення розміру зерна в поверхневій зоні внаслідок розчинення вторинних

2. Химушин Ф.Ф. Жаропрочные стали и сплавы. – М.: Металлургия, 1969. – 736 с.
3. Шипицин С.Я., Бабаскін Ю.З., Кирчу І.Ф. // Металознавство та обробка металів. – 2001. – 4. – С. 3 – 9.
4. Бабаскин Ю.З., Шипицьин С.Я., Кирчу І.Ф. // Литейн. пр. – во. – 2003. – 8. – С. 32 – 38.
5. Шипицин С.Я., Кирчу І.Ф., Степанова Т.В. // Металознавство та обробка металів. – 2004. – 4. – С. 11 – 15.
6. Кирчу І.Ф., Шипицьин С.Я., Степанова Т.В. // Экономический путь к высококачественному литью. – Киев, 2005. – С. 50 – 51.
7. Химушин Ф.Ф. Нержавеющие стали. – М.: Металлургия, 1967. – С. 25 – 302.
8. Бабаков А.А., Приданцев М.В. Коррозионностойкие стали и сплавы. – М.: Металлургия, 1971. – С. 109 – 118.
9. Бокштейн Б.С. Диффузия в металлах. – М.: Металлургия, 1978. – С. 164 – 191.
10. Кан Р. Физическое металловедение. Т. 2. – М.: Мир, 1968. – С. 144 – 153.

Одержано 04.06.08

І.Ф. Кирчу, Т.В. Степанова

Влияние параметров микроструктуры Cr-Mn-(Ni)-N сталей на их склонность к науглероживанию

Резюме

Обоснована возможность применения без- и низконикелевых азотсодержащих хромомарганцевых сталей феррито-аустенитного и аустенитного классов для изготовления оснастки цементационных печей взамен хромоникелевых сталей аустенитного класса. Установлена зависимость устойчивости к науглероживанию хромомарганцевых сталей от параметров микроструктуры.

I.F. Kirchu, T.V. Stepanova

Effect of microstructure parameters of Cr-Mn-(Ni)-N steels on susceptibility to carburization

Summary

The possibility of application of nickel-free and low-nickel ferrite-austenitic and austenitic Cr-Mn steels containing nitrogen for making accessories of cementation stoves instead of austenitic Cr-Ni steels is scientifically proved. Dependence of Cr-Mn steels stability to carburization on the parameters of microstructure is decided.